

III-112 遠心力模型実験による埋設管の土圧測定（断面力の評価）

大阪市立大学 工学部 正会員 東田 康
大阪市立大学 工学部 正会員 三笠 正人

まえがき

開削工法で埋設されたにコンクリート管のひびわれ事故の解明のため、遠心力模型実験を行った。今回は、計測土圧が管に働く場合の管体に生じるモーメントを求め、土圧分布形状の影響を考察する。さらに従来の設計手法で問題を残している管自重と輪荷重の影響について考察する。

計測土圧について

土圧測定は図-1に示す模型管を用いて、管表面に働く垂直土圧とせん断力を直接求めた。表-1に模型諸元と対応する重力場の実物寸法を示した。前回は周辺地山を埋め砂と同じ密度にして実験を行った（以下地山柔と呼ぶ）が、今回はさらに掘削溝外側に鉄板の剛壁を設置し、周辺地山が全く変形しない条件での実験（以下地山剛と呼ぶ）を行った。

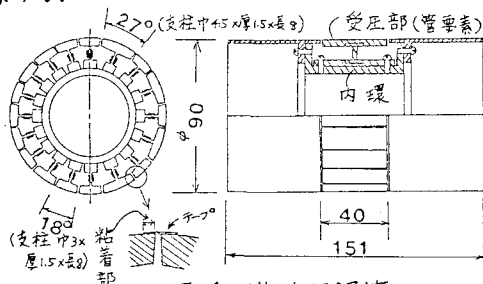


図-1 模型埋設管 (単位mm)

1) 土圧の分布形状 地山の剛柔による大きさは違い認められず、実測した垂直応力 P_v 、せん断応力 S から求めた垂直・水平土圧の分布は、矢板引抜直後には、管の上半分に働く鉛直土圧は等分布に、管の下半分に働く鉛直反力は管底に集中する山形分布となり、水平土圧は管側中央より少し下で最も小さい凹型分布となつた。また、矢板引抜後の輪荷重による地表面載荷によって、鉛直土圧は表面が滑る管では管頂に集中する山形分布に、粗い管では台形に近い分布となり、鉛直反力はいずれの場合も管底への集中傾向が増した。

2) 全鉛直・水平土圧 図-2に全鉛直・水平土圧を無次元化して示した。地山柔の場合の全鉛直土圧は、載荷時を除くと管直上型土压式の値1に近く、地山剛の場合はこの値よりもかなり小さい。全水平土圧は全鉛直土圧よりもかなり小さい。

3) 管頂・管底の鉛直土圧 図-3は、管頂・管底の鉛直土圧を無次元化した値で、管頂では載荷時を除くと土被圧とほぼ等しいが、管底の値はかなり大きく、集中傾向が強い。

断面力について

1) 断面力の算定方法 P.Sの測定曲線を10°間隔で2次関数に置換し、最小仕事の原理を用いて、管頂の3つの不静定断面力を求めた。計算は管自重を与えた場合

表-1 模型諸元と3Dモデルに對応する重力場の実物

管外径	土被り	管底	矢板	矢板× [*] 載荷板	管重量
D	H	板厚	間隔	壁厚	のゆ
9 cm	9 cm	4 cm	13 cm	0.5 cm	2.0043 kg/cm
270	270	120	390	15	60 39 42

*引抜時に矢板に付着して上がりくる土を考慮して定めた。

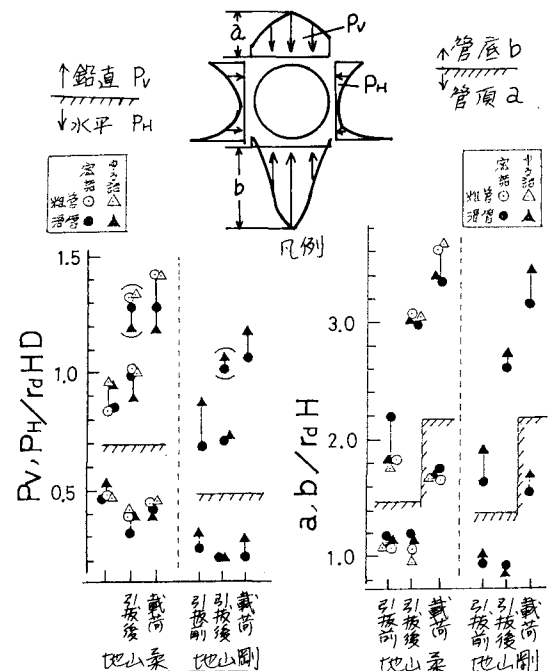


図-2 全鉛直・水平土圧

図-3 管頂・管底の鉛直土圧

と、与えはい場合の2通り行った。後者は鉛直反力の実測値から相似の分布で自重分を割引いて計算した。

2) 計算モーメント 図-4①⑥は実測土圧から求めた管頂、管底の計算モーメントMをねH(D/2)²で無次元化した値で、①は自重のはい場合、⑥は自重を考慮した場合である。

いずれの場合もM_{max}は管底付近で生じた。矢板引抜によつて管底Mは、地山柔で1.5~1.7倍に、地山剛では1.1~1.4倍に増え、載荷によつてさらに増す。管頂Mは引抜によつて管底ほど増えず、減少したものもある。①、⑥を比べると、自重を考慮した場合のMはしない場合よりもかなり大きい。なお、文献2)で紹介したしんらう管によつて地山柔の場合の実測Mを求め、設計Mと比較したところ、管の剛性がかなり異なるにも関わらず、矢板引抜以降両者は良く一致した。

現行設計法についての考察

1) 分布形状の影響 コンクリート管の設計手法として広く用いられている下水道協会規格によれば、砂まき土基礎の場合のM_{max}は管底に生じ、 $M_{max} = 0.2758 R^2$ (R: 管上半分に働く等分布荷重、R: 管厚中心半径) — ① で与えられる。この式は、管に働く鉛直反力を120°等分布と仮定して導かれた。そこで、その分布形状の影響をみるために、実験から得られた全鉛直土圧(図-2)を管外径Dで除して8とし、管底のM(図-4①)を8(D/2)²で除して値Kを求め、図-5に示した。矢板引抜以降、どの場合もKの値は規格に示された値0.275の1.2~1.4倍で、鉛直反力の分布形状の影響が無視できない。

2) 輪荷重について 同規格によれば、輪荷重による土圧(の平均値; すばやち等分布を仮定)Pは20tトラックの後輪荷重が45°の角度で地中分散するとして求められる。本実験のPをこのようにして求め、ねHで無次元化して図-2の矢板引抜後の値に加えると、同図の○で示した値となり、載荷時の実測値と比較的良く一致しており、規格によるPの算定式は妥当なものと判断される。しかし、輪荷重によるMを式①で求めると、図-4①⑥の○となり、載荷時の計算Mに比べて、一例を除いて小さく、やはり分布形状の影響が無視できない。

3) 自重の影響 同規格によれば、管体の有すべき最小抵抗モーメントは $MR = 0.318 QR + 0.239 WR$ (Q : 標準荷重) で算定され、右辺第2項は自重によるMを表わす。ところが実際に埋設された管に発生するモーメント算定式では、自重によつて生じるモーメントが無視されている。図-4で示したように、矢板引抜後では自重を考慮した場合の管底Mは、自重を考慮しない場合の1.3~1.4倍となつていい。本実験の管自重が実物のコンクリート管とほぼ等しいことから、現行の設計方法はこの点かなり危険側であると考えられる。

最後に、本研究にあたり助言を戴いた本学高田直俊助教授ならびに実験に協力を得た中村司(現飛島建設)、藤井康博(現奥村組)両君に謝意を表します。参考文献: 1) 東田中村: 第18回土質工学研究発表会「遠心力模型による埋設管の土圧測定(管表面の粗度と砂地盤の密度の影響)」 2) 高田東田松本: 第16回土質工学研究発表会「遠心力模型による埋設管の挙動観測」 3) 日本下水道協会: JSWAS 下水道用鉄筋エクソ管

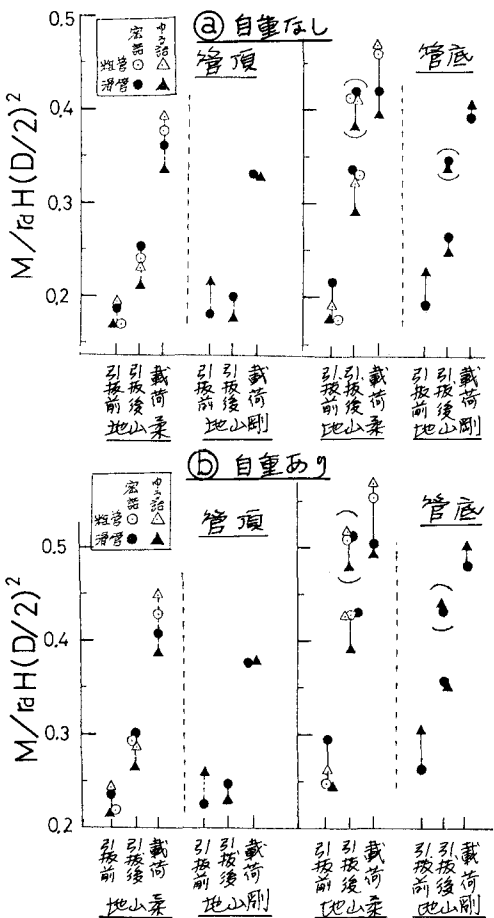


図-4 管頂、管底の計算モーメント

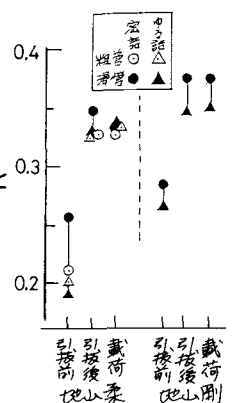


図-5 分布形状の影響